

Grafică pe calculator

Mihai-Sorin Stupariu

Sem. al II-lea, 2015-2016

Cuprins

1	Generalități	3
1.1	Exemplu de program OpenGL	3
1.2	Despre OpenGL	4
1.2.1	Elemente generale	4
1.2.2	Scurt istoric	4
1.2.3	Biblioteci utilizate de OpenGL și funcții asociate	5
1.3	Resurse	5
2	Primitive grafice. Atribute ale primitivelor grafice	6
2.1	Fundamente teoretice	6
2.1.1	Intersecții de segmente	6
2.1.2	Poligoane	6
2.1.3	Orientarea poligoanelor. Fața/spatele unui poligon convex	7
2.2	Algoritmi de rasterizare pentru segmente	8
2.3	Funcții OpenGL	9
2.3.1	Vârfuri	9
2.3.2	Puncte	10
2.3.3	Segmente de dreaptă	10
2.3.4	Poligoane	12
2.4	Exerciții	14
3	Transformări	16
3.1	Coordonate omogene	16
3.2	Reprezentarea matriceală a transformărilor	18
3.3	Transformări de modelare standard în OpenGL. Utilizarea cuaternionilor	19
3.4	Exerciții	19
4	Reprezentarea scenelor 3D	20
4.1	Coordonate de vizualizare	20
4.2	Transformări de proiecție	21
4.2.1	Proiecții ortogonale	21
4.2.2	Proiecții paralele oblice	22
4.2.3	Proiecții perspective	22

4.3	Exerciții	22
5	Iluminarea scenelor	23
5.1	Caracteristici ale surselor de lumină	23
5.2	Modele de iluminare	23
5.3	Definirea caracteristicilor materialelor	24
5.4	Formula generală de calcul	24
5.5	Umbre	25
5.6	Exerciții	25
6	Efecte vizuale	26
6.1	Transparență; amestecare; factor α	26
6.2	Teste de adâncime	27
6.3	Efectul de ceață	28
6.4	Exerciții	28
7	Texturare	29
7.1	Principii generale	29
7.2	Texturi 1D	29
7.3	Texturi 2D	30
7.3.1	Crearea unui obiect textură și specificarea proprietăților acestuia	30
7.3.2	Precizarea unor reguli referitoare la modul în care texelii sunt așezați pe structura de pixeli	31
7.3.3	Coordonate de modelare și coordonate de texturare	32
7.4	Exerciții	33
8	Reprezentarea unor cazuri particulare de curbe și suprafețe	34
8.1	Obiecte cuadrice	34
8.1.1	Conice și cuadrice - breviar teoretic	34
8.1.2	Funcții OpenGL pentru obiecte cuadrice	36
8.2	Curbe și suprafețe Bézier	37
8.2.1	Curbe și suprafețe Bézier - breviar teoretic	37
8.2.2	Evaluatori	39
8.3	Exerciții	39
	Bibliografie	40

Capitolul 1

Generalități

1.1 Exemplu de program OpenGL

```
#include <windows.h> // biblioteci care urmeaza sa fie incluse.
#include <gl/freeglut.h> // nu trebuie uitat freeglut.h
void init (void) // initializare ecran de vizualizare
{
    glClearColor (1.0, 1.0, 1.0, 0.0); // culoarea de fond a ecranului
    glMatrixMode (GL_PROJECTION); // reprezentare 2D; proiectie ortogonala
    gluOrtho2D (0.0, 1200.0, 0.0, 700.0);
}
void desen (void) // procedura desenare
{
    glColor3f (0.0, 0.0, 1.0); // culoarea punctelor: albastru
    glBegin (GL_POINTS);
        glVertex2i (20, 20);
        glVertex2i (21, 21);
        glVertex2i (22, 22);
        glVertex2i (23, 23);
        glVertex2i (24, 24);
        glVertex2i (27, 27);
        glVertex2i (100, 100);
    glEnd ( );
    glColor3f (1.0, 0.0, 0.0); // culoarea liniei frante: rosu
    glBegin (GL_LINE_STRIP);
        glVertex2i (0,0);
        glVertex2i (200, 100);
        glVertex2i (300, 120);
        glVertex2i (255, 290);
    glEnd ( );
    glColor3f (0.0, 1.0, 0.0); // culoarea reuniunii de segmente: verde
    glBegin (GL_LINES);
        glVertex2i (400,400);
        glVertex2i (600, 500);
        glVertex2i (700, 520);
        glVertex2i (655, 690);
    glEnd ( );
    glFlush ( );
}
void main (int argc, char** argv)
{
    glutInit (&argc, argv);
    glutInitDisplayMode (GLUT_SINGLE | GLUT_RGB);
```

```

glutInitWindowPosition (100, 100); // pozitia initiala a ferestrei de vizualizare
glutInitWindowSize (1200, 700); // dimensiunile ferestrei
glutCreateWindow ("Puncte & Segmente"); // titlul ferestrei
init ( );
glClearColor (GL_COLOR_BUFFER_BIT);
glutDisplayFunc (desen);
glutMainLoop ( );
}

```

Elemente importante

- Directive preprocesare
- Procedură inițializare `init`
- Procedură desen `desen`
- Main
 - Inițializări GLUT
 - Generare fereastră
 - Apelare procedură inițializare
 - Apelare procedură desen
 - Apelare `MainLoop`

1.2 Despre OpenGL

1.2.1 Elemente generale

- OpenGL este o interfață de programare (Application Programming Interface API)
- Pentru a funcționa are nevoie de o serie de biblioteci; versiunea suportată depinde de placa grafică a calculatorului
- OpenGL **nu** este un limbaj de programare (există GLSL)
- Arhitectura de tip *client-server* (CPU-GPU)

1.2.2 Scurt istoric

- 1992: versiunea 1.0 a OpenGL (derivat din IRIS GL), lansat de SGI; “open standard”
- 1992: OpenGL Architecture Review Board (elaborarea specificațiilor)
- 1997: versiunea 1.1
- 2002/2003: versiunile 1.4, 1.5; GLSL (GL Shading Language) apare ca o extensie a funcționalității de bază
- 2004: OpenGL 2.0; GLSL 1.10.59 inclus în “core”
- 2008: OpenGL 3.0: conceptul de “funcționalități depreciate”, legate de modul de redare imediat; mecanismul de depreciere a fost implementat / extins în 2009, când au fost lansate versiunile 3.1 și 3.2

- 2010: OpenGL 3.3 (hardware care suportă Direct3D 10); OpenGL 4.0 (hardware care suportă Direct3D 11); numerotarea versiunilor de GLSL este “sincronizată” (GLSL v. 3.30.6, respectiv v. 4.00.9)
- 2014 OpenGL 4.5 (respectiv GLSL 4.50)

1.2.3 Biblioteci utilizate de OpenGL și funcții asociate

- bibliotecă fundamentală (core library): este independentă de platforma pe care se lucrează; funcțiile corespunzătoare au prefixul `gl` (de exemplu: `glClearColor ()`; `glFlush ()`; `glVertex ()`; `glColor ()`; `glBegin ()`, etc.
- GLU (OpenGL Utility): conține mai ales proceduri / funcții legate de proiecție, precum și funcții pentru conice și quadrice; funcțiile asociate au prefixul `glu`
- GLUT (OpenGL Utility Toolkit) / freeglut: bibliotecă *dependentă de sistem*, utilizată pentru a realiza fereastra de vizualizare; poate interacționa cu sisteme de operare bazate pe ferestre de vizualizare; funcțiile specifice au prefixul `glut`

1.3 Resurse

Resurse generale:

- [Site-ul oficial OpenGL](#)
- Cărți: [12], [7]
- Cărți / tutoriale online: [D. Eck, Introduction to Computer Graphics](#); <http://nehe.gamedev.net/>; etc.
- [Resurse curs](#) (tutorial de instalare, coduri sursă pentru laborator)

Capitolul 2

Primitive grafice. Atribute ale primitivelor grafice

2.1 Fundamente teoretice

2.1.1 Intersecții de segmente

În plan (context 2D)

- Segmentele $[AB]$ și $[CD]$ se intersectează $\Leftrightarrow A$ și B sunt de o parte și de alta a dreptei CD și C și D sunt de o parte și de alta a dreptei AB .
- Două puncte M și N sunt de o parte și de alta a dreptei d de ecuație $f(x, y) = \alpha x + \beta y + \gamma = 0 \Leftrightarrow f(M) \cdot f(N) < 0$.

În spațiu (context 3D)

- **Varianta 1** Reducere la cazul 2D. Se găsește o izometrie / transformare afină astfel ca figura să fie situată în planul $z = 0$.
- **Varianta 2** Se folosește reprezentarea segmentelor cu ajutorul combinațiilor afine. Segmentele $[AB]$ și $[CD]$ se intersectează \Leftrightarrow

$$\exists s_0, t_0 \in [0, 1] \text{ a.î. } (1 - t_0)A + t_0B = (1 - s_0)C + s_0D.$$

2.1.2 Poligoane

Reguli referitoare la vârfurile P_1, P_2, \dots, P_N (diferite două câte două) care determină un poligon, pentru ca GLPOLYGON să producă efectul dorit:

1. Punctele trebuie să fie coplanare. **De verificat:** condiția de coplanaritate

$$\text{rang} \begin{pmatrix} 1 & 1 & 1 & \dots & 1 \\ x_{P_1} & x_{P_2} & x_{P_3} & \dots & x_{P_N} \\ y_{P_1} & y_{P_2} & y_{P_3} & \dots & y_{P_N} \\ z_{P_1} & z_{P_2} & z_{P_3} & \dots & z_{P_N} \end{pmatrix} = 3 \quad (2.1)$$

sau faptul că

$$\dim_{\mathbb{R}} \langle \overrightarrow{P_1P_2}, \overrightarrow{P_1P_3}, \dots, \overrightarrow{P_1P_N} \rangle = 2. \quad (2.2)$$

O condiție alternativă este coliniaritatea vectorilor $\overrightarrow{P_1P_2} \times \overrightarrow{P_2P_3}, \overrightarrow{P_2P_3} \times \overrightarrow{P_3P_4}, \dots, \overrightarrow{P_{N-1}P_N} \times \overrightarrow{P_NP_1}, \overrightarrow{P_NP_1} \times \overrightarrow{P_1P_2}$

2. Vârfurile trebuie indicate în ordinea corectă, astfel încât linia poligonală să nu aibă autointersecții. **De verificat:** intersecții de segmente (cf. secțiunea 2.1.1).
3. Poligonul trebuie să fie convex. **De verificat:** convexitatea (folosind produse vectoriale).

2.1.3 Orientarea poligoanelor. Fața/spatele unui poligon convex

Să considerăm un poligon convex (A_1, A_2, \dots, A_n) (sensul de parcurgere este important!). Alegem trei vârfuri consecutive, de exemplu A_1, A_2, A_3 , având coordonatele $A_1 = (x_1, y_1, z_1)$, $A_2 = (x_2, y_2, z_2)$, respectiv $A_3 = (x_3, y_3, z_3)$. Ecuația planului determinat de cele trei puncte are forma

$$Ax + By + Cz + D = 0,$$

unde coeficienții A, B, C și D sunt dați de formulele

$$A = \begin{vmatrix} y_1 & z_1 & 1 \\ y_2 & z_2 & 1 \\ y_3 & z_3 & 1 \end{vmatrix}, \quad B = - \begin{vmatrix} x_1 & z_1 & 1 \\ x_2 & z_2 & 1 \\ x_3 & z_3 & 1 \end{vmatrix} = \begin{vmatrix} x_1 & 1 & z_1 \\ x_2 & 1 & z_2 \\ x_3 & 1 & z_3 \end{vmatrix},$$

$$C = \begin{vmatrix} x_1 & y_1 & 1 \\ x_2 & y_2 & 1 \\ x_3 & y_3 & 1 \end{vmatrix}, \quad D = - \begin{vmatrix} x_1 & y_1 & z_1 \\ x_2 & y_2 & z_2 \\ x_3 & y_3 & z_3 \end{vmatrix},$$

fiind deduși din condiția de coliniaritate

$$\begin{vmatrix} x & y & z & 1 \\ x_1 & y_1 & z_1 & 1 \\ x_2 & y_2 & z_2 & 1 \\ x_3 & y_3 & z_3 & 1 \end{vmatrix} = 0.$$

Notăm $\pi(x, y, z) = Ax + By + Cz + D$. Noțiunile de **față/spate** a planului (și, implicit, a poligonului convex fixat) sunt definite astfel:

- $P = (x, y, z)$ se află în fața planului (poligonului) $\Leftrightarrow \pi(x, y, z) > 0$;
- $P = (x, y, z)$ se află în spatele planului (poligonului) $\Leftrightarrow \pi(x, y, z) < 0$.

Presupunem acum că $D = 0$, deci planul trece prin origine, iar ecuația sa este $\pi(x, y, z) = Ax + By + Cz = 0$. Considerând vectorul $N = (A, B, C)$ care direcționează normala la plan, avem $\pi(A, B, C) > 0$, deci vectorul N indică partea din față a poligonului (planului). În general, un vector (x, y, z) este orientat înspre partea din față a planului dacă $\pi(x, y, z) > 0$, i.e. $\langle (x, y, z), N \rangle > 0$, ceea ce înseamnă că proiecția vectorului (x, y, z) pe N este la fel orientată ca și N . Prin translație, aceste rezultate pot fi extinse pentru un plan arbitrar. Mai mult, presupunând că parcurgem poligonul (A_1, A_2, \dots, A_n) în sens trigonometric și că rotim un burghiu drept în sensul indicat de această parcurgere, acesta se va deplasa în sensul indicat de vectorul N , deci înspre fața poligonului (vezi figura 2.1.3).

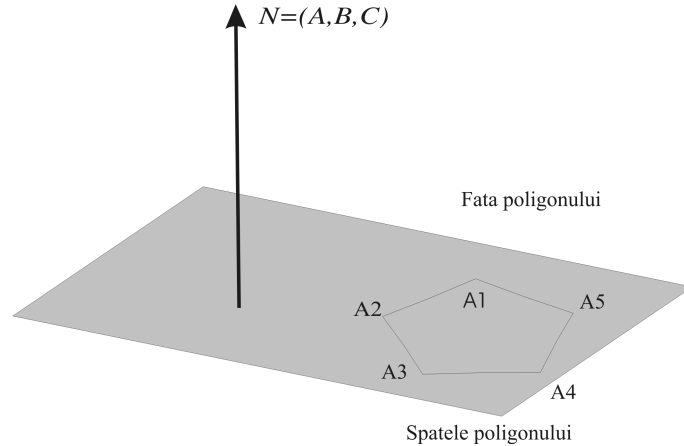


Figura 2.1: Orientarea unui poligon

Exemplul 2.1 Să considerăm poligonul (A_1, A_2, A_3, A_4) , unde

$$A_1 = (1, 1, 1), \quad A_2 = (-1, 1, 1), \quad A_3 = (-1, -1, 1), \quad A_4 = (1, -1, 1).$$

În acest caz coeficienții A, B, C, D sunt $A = 0, B = 0, C = 4, D = -4$, deci vectorul normal este $N = (0, 0, 4)$ (are aceeași direcție și același sens cu axa Oz), iar ecuația planului suport al acestui poligon este $4z - 4 = 0$. În particular, punctul $(0, 0, 2)$ este situat în fața poligonului, iar originea $(0, 0, 0)$ în spatele acestuia.

2.2 Algoritmi de rasterizare pentru segmente

Fie $M_0 = (x_0, y_0), M_{End} = (x_{End}, y_{End})$ extremitățile unui segment ce urmează să fie reprezentat în format raster (cu $x_0, y_0, x_{End}, y_{End} \in \mathbb{N}$). Se presupune că dreapta M_0M_{End} are ecuația

$$y = mx + n. \tag{2.3}$$

Notății și proprietăți:

$$\Delta x = x_{End} - x_0, \quad \Delta y = y_{End} - y_0, \quad m = \frac{\Delta y}{\Delta x}.$$

Presupunem $\Delta x > \Delta y > 0$. Numărul de pași care trebuie realizați în lungul axei orizontale Ox este mai mare decât numărul de pași care trebuie realizați în lungul axei verticale Oy .

- **Varianta 1** Implementare directă a ecuației (2.3)
- **Varianta 2** Algoritmul DDA
- **Varianta 2** Algoritmul lui Bresenham

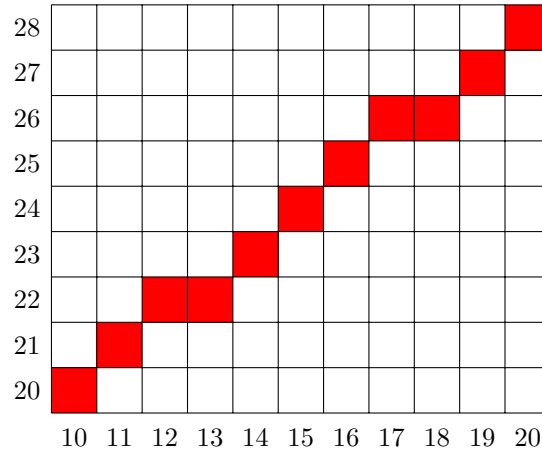


Figura 2.2: **Algoritmul DDA / algoritmul lui Bresenham.**
 Pixelii selectați pentru a uni punctele (10, 20) și (20, 28) sunt colorați cu roșu.

2.3 Funcții OpenGL

2.3.1 Vârfuri

Primitivele grafice sunt realizate cu ajutorul **vârfurilor**. În OpenGL un vârf este definit cu ajutorul funcției

```
glVertex* ( );
```

Cu ajutorul sufixului * se indică:

- dimensiunea spațiului în care lucrăm, $n \in \{2, 3, 4\}$
- tipul de date utilizat, care poate fi:
 - i (integer)
 - s (short)
 - f (float)
 - d (double)
- (opțional) posibila formă vectorială, indicată prin sufixul v.

Unui vârf îi sunt asociate:

- coordonatele (fac parte din definiție),
- culoarea,
- normala (legată de funcții de iluminare),
- coordonate de texturare

O funcție de tipul `glVertex` poate fi apelată într-un cadru de tip

```
glBegin (*);
glEnd;
```

(unde * reprezintă tipul de primitivă generat).

2.3.2 Puncte

Astfel, cu ajutorul acestei funcții pot fi generate puncte, într-un cadru de tipul

```
glBegin (GL_POINTS);  
  
glEnd;
```

segmente de dreaptă (vezi paragraful 2.3.3) sau poligoane.

Exemplul 2.2 Următoarele două secvențe de cod sursă sunt echivalente, având ca efect desenarea punctelor de coordonate (50,100), (70,80) și (90,150).

I.

```
glBegin(GL_POINTS);  
    glVertex2i (50, 100);  
    glVertex2i (70, 80);  
    glVertex2i (90, 150);  
glEnd;
```

II.

```
int p1[ ] = {50, 100};  
int p2[ ] = {70, 80};  
int p3[ ] = {90, 150};  
glBegin(GL_POINTS);  
    glVertex2iv (p1);  
    glVertex2iv (p2);  
    glVertex2iv (p3);  
glEnd;
```

Atribute ale punctelor

- Culoarea (dată de culoarea vârfului)
- Dimensiunea

```
glPointSize (dimens);
```

2.3.3 Segmente de dreaptă

Un singur segment de dreaptă, determinat de punctele de coordonate (x_1, y_1) , (x_2, y_2) (vom lua $x_1, x_2, y_1, y_2 \in \mathbf{Z}$) poate fi trasat utilizând următoarea secvență de cod sursă:

```
glBegin (GL_LINES);  
    glVertex2i (x1, y1);  
    glVertex2i (x2, y2);  
glEnd;
```

De asemenea, pentru trasarea segmentelor de dreaptă mai pot fi utilizate și constantele simbolice `GL_LINES`, `GL_LINE_STRIP`, `GL_LINE_LOOP`. Să considerăm o mulțime de puncte având coordonatele (pe care le presupunem numere întregi) $P_1 = (x_1, y_1), P_2 = (x_2, y_2), \dots, P_n = (x_n, y_n)$.

- Putem desena segmentele de forma $[P_{2k+1}P_{2k+2}]$ (în cazul în care n este impar, ultimul punct nu este unit cu nimeni) folosind instrucțiunile

```
glBegin (GL_LINES);
  glVertex2i (x1, y1);
  glVertex2i (x2, y2);
  .....
  glVertex2i (xn, yn);
glEnd;
```

- Linia frântă ce unește punctele P_1, P_2, \dots, P_n este trasată astfel:

```
glBegin (GL_LINE_STRIP);
  glVertex2i (x1, y1);
  glVertex2i (x2, y2);
  .....
  glVertex2i (xn, yn);
glEnd;
```

- Linia poligonală închisă determinată de punctele P_1, P_2, \dots, P_n (poate conține autointersecții!) este desenată folosind comenzile:

```
glBegin (GL_LINE_LOOP);
  glVertex2i (x1, y1);
  glVertex2i (x2, y2);
  .....
  glVertex2i (xn, yn);
glEnd;
```

Atribute ale segmentelor de dreaptă

- Culoarea (dată de culorile extremităților segmentului); când acestea din urmă au culori diferite, culorile punctelor segmentului sunt determinate folosind **interpolarea afină**. Modul de trasare se controlează cu

```
glShadeModel (...);
```

fiind posibile variantele

```
glShadeModel (GL_SMOOTH);
```

```
glShadeModel (GL_FLAT);
```

- Lățimea

```
glLineWidth (width);
```

- Modul de desenare (șablon, model)

Este definit prin

```
glLineStipple(repeatfactor, pattern);
```

și activat / dezactivat prin

```
glEnable (GL_LINE_STIPPLE);
.....
glDisable (GL_LINE_STIPPLE);
```

2.3.4 Poligoane

Un singur triunghi, determinat de punctele de coordonate (x_1, y_1) , (x_2, y_2) , (x_3, y_3) (vom lua $x_1, x_2, y_1, y_2, x_3, y_3 \in \mathbf{Z}$), poate fi trasat utilizând următoarea secvență de cod sursă:

```
glBegin (GL_TRIANGLES);
    glVertex2i (x1, y1);
    glVertex2i (x2, y2);
    glVertex2i (x3, y3);
glEnd;
```

De asemenea, pentru trasarea segmentelor de dreaptă mai pot fi utilizate și constantele simbolice `GL_TRIANGLES`, `GL_TRIANGLE_STRIP`, `GL_TRIANGLE_FAN`, `GL_QUADS`, `GL_QUAD_STRIP`, `GL_POLYGON`. Să considerăm o mulțime de puncte având coordonatele (pe care le presupunem numere întregi) $P_1 = (x_1, y_1)$, $P_2 = (x_2, y_2), \dots, P_n = (x_n, y_n)$.

- Putem desena triunghiuri de forma $[P_{3k+1}P_{3k+2}P_{3k+3}]$ (în cazul în care n nu este divizibil prin 3, există vârfuri care nu aparțin niciunui triunghi) folosind instrucțiunile

```
glBegin (GL_TRIANGLES);
    glVertex2i (x1, y1);
    glVertex2i (x2, y2);
    .....
    glVertex2i (xn, yn);
glEnd;
```

- Triunghiuri care au muchii în comun, definite de punctele P_1, P_2, \dots, P_n sunt trasate astfel:

```
glBegin (GL_TRIANGLE_STRIP);
    glVertex2i (x1, y1);
    glVertex2i (x2, y2);
    .....
    glVertex2i (xn, yn);
glEnd;
```

- Un evantai de triunghiuri având vârful P_1 comun este desenat folosind comenzile:

```
glBegin (GL_TRIANGLE_FAN);
    glVertex2i (x1, y1);
    glVertex2i (x2, y2);
    .....
    glVertex2i (xn, yn);
glEnd;
```

- Patrulatere pot fi desenate folosind instrucțiunile

```
glBegin (GL_QUADS);
    glVertex2i (x1, y1);
    glVertex2i (x2, y2);
    .....
    glVertex2i (xn, yn);
glEnd;
```

```
glBegin (GL_QUAD_STRIP);
  glVertex2i (x1, y1);
  glVertex2i (x2, y2);
  .....
  glVertex2i (xn, yn);
glEnd;
```

- Pentru poligoane convexe (vezi secțiunea 2.1.2 pentru condițiile pe care trebuie să le verifice punctele) se poate folosi secveța de cod

```
glBegin (GL_POLYGON);
  glVertex2i (x1, y1);
  glVertex2i (x2, y2);
  .....
  glVertex2i (xn, yn);
glEnd;
```

- Există o funcție specială pentru desenarea unui dreptunghi care are ca vârfuri diagonale opuse punctele (x_1, y_1) și (x_2, y_2) .

```
glRect* (x1,y1,x2,y2)
```

Atribute ale triunghiurilor

- Culoarea (dată de culorile vârfurilor); când acestea din urmă au culori diferite, culorile punctelor segmentului sunt determinate folosind **interpolarea afină**. Modul de trasare se controlează, ca în cazul segmentelor, cu

```
glShadeModel (...);
```

fiind posibile variantele

```
glShadeModel (GL_SMOOTH);
```

```
glShadeModel (GL_FLAT);
```

- Funcții OpenGL pentru trasarea feței / spatelui unui poligon

- Precizarea modului de redare

```
glPolygonMode (face, mode);
```

Pentru *face* sunt posibile valorile `GL_FRONT`, `GL_BACK`, `GL_FRONT_AND_BACK`, iar pentru *mode* sunt posibile valorile `GL_POINTS`, `GL_LINE`, `GL_FILL`. Valoarea implicită este `GL_FILL`.

- Schimbarea ordinii vârfurilor

```
glFrontFace
(GL_CW);
```

```
glFrontFace(GL_CCW);
```

Valoarea implicită este `GL_CCW` și revenirea la aceasta trebuie precizată în mod explicit.

- Renunțare la trasarea feței unor poligoane
Poligoanele văzute dinspre fața *face* pot fi eliminate cu secvența

```
glEnable (GL_CULL_FACE);
glCullFace (face);
..... listă poligoane convexe
glDisable (GL_CULL_FACE);
```

- Șablonul de desenare

2.4 Exerciții

Exercițiul 2.4.1 Fie $A = (3, 1)$, $B = (5, 3)$, $C = (10, 8)$, $D = (1, -1)$. Stabiliți dacă segmentele $[AB]$ și $[CD]$ se intersectează și, în caz afirmativ, determinați coordonatele punctului de intersecție.

Exercițiul 2.4.2 Fie $A = (1, 2, 3)$, $B = (3, 2, 5)$, $C = (8, 6, 2)$, $D = (-1, 0, 3)$. Stabiliți dacă segmentele $[AB]$ și $[CD]$ se intersectează și, în caz afirmativ, determinați coordonatele punctului de intersecție.

Exercițiul 2.4.3

- Verificați echivalența dintre condițiile (2.1) și (2.2).
- Care este interpretarea geometrică dacă egalitatea din condiția (2.1) devine inegalitate?

Exercițiul 2.4.4 Calculați produsul vectorial $v \times w$, pentru $v = (1, 2, 0)$ și $w = (-3, 1, 0)$. Aceeași cerință pentru $v = (2, 4, 1)$ și $w = (-1, -1, 1)$.

Exercițiul 2.4.5 Stabiliți natura virajelor din poligonul $P_1P_2P_3P_4P_5P_6$, pentru $P_1 = (1, 0)$, $P_2 = (4, 0)$, $P_3 = (7, 2)$, $P_4 = (5, 4)$, $P_5 = (8, 6)$, $P_6 = (0, 7)$.

Exercițiul 2.4.6 Considerăm punctele $P_1 = (2, 3, 5)$, $P_2 = (3, 4, 6)$, $P_3 = (0, 3, 4)$, $P_4 = (3, 2, 5)$. Stabiliți care este poziția lui P_4 față de $\Delta P_1P_2P_3$.

Exercițiul 2.4.7 Fie P_1, P_2, P_3 trei puncte necoliniare din \mathbb{R}^3 . Considerăm ecuația planului $Ax + By + Cz + D = 0$ obținută prin dezvoltarea determinantului din ecuația (2.1). Verificați că $\vec{P_1P_2} \times \vec{P_2P_3} = (A, B, C)$.

Exercițiul 2.4.8 Fie punctele $A = (2, 3, 0)$, $B = (5, 4, 0)$, $C = (0, 8, 0)$. Stabiliți ordinea în care trebuie indicate punctele astfel ca punctul $(-1, 2, 6)$ să fie în fața planului triunghiului determinat de ele.

Exercițiul 2.4.9 Considerăm punctele $A = (-1, 0, 1)$, $B = (1, 0, 1)$, $C = (1, 0, -1)$, $D = (-1, -0, -1)$. În ce ordine trebuie indicate punctele pentru ca fața poligonului să fie orientată spre prelungirea axei Oy ?

Exercițiul 2.4.10 La reprezentarea unui segment folosind algoritmul DDA sunt selectați 11 pixeli (inclusiv cei corespunzând extremităților segmentului). Calculați panta dreptei suport a segmentului, știind că dintre pixelii selectați doar doi au aceeași ordonată. Dați exemplul de puncte M_0 și M_{End} care să verifice aceste condiții și scrieți explicit algoritmul DDA pentru aceste puncte.

Exercițiul 2.4.11 La reprezentarea unui segment folosind algoritmul Bresenham s-a obținut parametrul de decizie inițial $p_0 = 2$. Știind că panta dreptei suport a segmentului este 0.6, calculați valoarea lui p_1 . Dați exemplul de puncte M_0 și M_{End} care să verifice aceste condiții și scrieți explicit algoritmul lui Bresenham pentru aceste puncte (indicați și valorile parametrului de decizie).

Exercițiul 2.4.12

a) Cum se procedează în algoritmul DDA / algoritmul lui Bresenham dacă se dorește parcurgerea segmentului de la dreapta la stânga?

b) Scrieți algoritmul DDA / algoritmul lui Bresenham pentru cazul $0 < \Delta x < \Delta y$. Ce alte situații mai pot să apară?

Exercițiul 2.4.13 Explicați cum poate fi adaptată metoda din algoritmul lui Bresenham pentru a reprezenta alte curbe (cerc, elipsă, etc.).

Exercițiul 2.4.14 Ilustrați diferența de robustețe și de eficiență pentru cele trei variante de algoritmi din secțiunea 2.2.

Exercițiul 2.4.15 Care este secvența de cod sursă care generează culoarea galben pentru o primitivă grafică?

Exercițiul 2.4.16 Câte triunghiuri vor fi desenate dacă între `glBegin(GL_TRIANGLES)` și `glEnd()` sunt enumerate 40 de vârfuri distincte?

Capitolul 3

Transformări

OpenGL utilizează (implicit sau explicit) 4 tipuri de transformări:

- **de modelare**, aplicate obiectelor care urmează să fie reprezentate; acest tip de transformări este discutat în detaliu în paragrafele din acest capitol;
- **de vizualizare**, care au rolul de a modifica poziția observatorului față de cea implicită;
- **de proiecție**, care precizează tipul proiecției utilizate, precum și ceea ce urmează a fi decupat;
- **de viewport**, care indică date despre fereastra de vizualizare (vizor).

Pentru a realiza o uniformizare a tuturor acestor tipuri și pentru a putea combina diferitele transformări care pot să apară în realizarea unei scene, o transformare arbitrară este reprezentată în memoria internă a bibliotecilor OpenGL printr-o matrice 4×4 . Fundamentele matematice ale acestei identificări sunt explicate în secțiunea 3.2.

3.1 Coordonate omogene

Scopul acestui paragraf este de a explica, pe scurt, construcția spațiului proiectiv real și de a explica modul în care sunt introduse coordonatele omogene. Pentru mai multe detalii referitoare la acest subiect (și la geometria proiectivă, în general) pot fi consultate lucrările [3], [8] sau [4]. Utilitatea coordonatelor omogene va deveni clară în secțiunea 3.2.

Pe mulțimea $\mathbb{R}^4 \setminus \{0\}$ introducem relația de echivalență \sim dată prin $X \sim Y$ dacă și numai dacă există $\lambda \neq 0$ astfel ca $Y = \lambda X$. Clasa de echivalență a unui element $X = (X_1, X_2, X_3, X_0)$ va fi notată cu $[X_1, X_2, X_3, X_0]$. Astfel, de exemplu, avem $[1, 2, 3, -5] = [2, 4, 6, -10]$. Mulțimea

$$\mathbb{P}^3\mathbb{R} = \{[X_1, X_2, X_3, X_0] \mid (X_1, X_2, X_3, X_0) \in \mathbb{R}^4 \setminus \{0\}\}$$

a tuturor claselor de echivalență este numită **spațiu proiectiv real**. Pentru un element $P = [X_1, X_2, X_3, X_0] \in \mathbb{P}^3\mathbb{R}$, sunt definite și unice până la înmulțirea cu un scalar nenul **coordonatele omogene** ale lui P , și anume (X_1, X_2, X_3, X_0) .

Există o aplicație de incluziune naturală $\iota : \mathbb{R}^3 \hookrightarrow \mathbb{P}^3\mathbb{R}$, dată prin formula $\iota(x_1, x_2, x_3) = [x_1, x_2, x_3, 1]$.

Pe de altă parte, fie $[\delta]$ clasa de echivalență a unei drepte δ modulo relația de paralelism (intuitiv, o astfel de clasă de echivalență poate fi privită ca punct de

la infinit al unei drepte, în sensul că două drepte paralele au în comun un punct la infinit, iar prin acest punct trece orice dreaptă paralelă cu ele). Fie (v_1, v_2, v_3) un vector director al lui δ (atunci orice vector de forma $(\lambda v_1, \lambda v_2, \lambda v_3)$, cu $\lambda \neq 0$ este, la rândul său, un vector director al lui δ). Îi putem asocia lui $[\delta]$ elementul $[v_1, v_2, v_3, 0]$ din spațiul $\mathbb{P}^3\mathbb{R}$.

În concluzie, spațiul proiectiv real $\mathbb{P}^3\mathbb{R}$ conține două tipuri de elemente:

- ”**puncte reale**”: adică elemente de forma $P = [X_1, X_2, X_3, X_0]$ cu $X_0 \neq 0$; P îcorespunde punctului $\left(\frac{X_1}{X_0}, \frac{X_2}{X_0}, \frac{X_3}{X_0}\right)$ din spațiul geometric \mathbb{R}^3 ,
- ”**puncte de la infinit**”: adică elemente de forma $Q = [X_1, X_2, X_3, 0]$. Mulțimea punctelor de la infinit formează un plan, numit **planul de la infinit**, având ecuația $X_0 = 0$.

Oricărui loc geometric L din \mathbb{R}^3 i se poate asocia un loc geometric \bar{L} din $\mathbb{P}^3\mathbb{R}$, prin ”completarea” cu puncte de la infinit. Mai mult, dacă L este descris prin ecuații implicite, i se poate asocia un loc geometric \bar{L} din $\mathbb{P}^3\mathbb{R}$, obținut prin **omogenizarea** ecuațiilor lui L . Astfel, dacă \bar{L} este dat prin ecuația

$$a_1x_1 + a_2x_2 + a_3x_3 + a_0 = 0,$$

omogenizarea ecuației lui L se obține astfel: se notează $x_i = \frac{X_i}{X_0}$ ($i = 1, 2, 3$) și se efectuează înlocuirile în ecuația lui L , obținând, după eliminarea numitorului, ecuația omogenă a lui \bar{L}

$$a_1X_1 + a_2X_2 + a_3X_3 + a_0X_0 = 0.$$

Este de menționat faptul că, în general, o ecuație omogenă de forma

$$a_1X_1 + a_2X_2 + a_3X_3 + a_0X_0 = 0 \quad (\text{cu } \text{rang}(a_1, a_2, a_3, a_0) = 1)$$

reprezintă **un plan** din spațiul proiectiv real $\mathbb{P}^3\mathbb{R}$, iar **o dreaptă** este dată printr-un sistem de forma

$$\begin{cases} a_1X_1 + a_2X_2 + a_3X_3 + a_0X_0 = 0 \\ b_1X_1 + b_2X_2 + b_3X_3 + b_0X_0 = 0 \end{cases} \quad (\text{cu } \text{rang} \begin{pmatrix} a_1 & a_2 & a_3 & a_0 \\ b_1 & b_2 & b_3 & b_0 \end{pmatrix} = 2).$$

Exemplul 3.1 Să considerăm dreapta d din \mathbb{R}^3 având ecuațiile implicite

$$\begin{cases} x_1 - x_2 - x_3 - 4 = 0 \\ 3x_1 - x_2 + x_3 + 2 = 0. \end{cases}$$

Trecând la ecuații parametrice, se deduce că un vector director al dreptei este $(1, 2, -1)$. Prin omogenizare, se obține dreapta \bar{d} din $\mathbb{P}^3\mathbb{R}$ având ecuațiile

$$\begin{cases} X_1 - X_2 - X_3 - 4X_0 = 0 \\ 3X_1 - X_2 + X_3 + 2X_0 = 0. \end{cases}$$

Este de remarcat faptul că intersecția dintre \bar{d} și dreapta de la infinit este dată de soluțiile sistemului

$$\begin{cases} X_1 - X_2 - X_3 - 4X_0 = 0 \\ 3X_1 - X_2 + X_3 + 2X_0 = 0 \\ X_0 = 0, \end{cases}$$

adică punctul de la infinit al dreptei d , și anume $[1, 2, -1, 0]$.

3.2 Reprezentarea matriceală a transformărilor

O translație $\mathbf{T} : \mathbb{R}^3 \rightarrow \mathbb{R}^3$ de vector $\mathbf{t} = (t_1, t_2, t_3)$ poate fi reprezentată matriceal sub forma

$$\begin{pmatrix} x_1 \\ x_2 \\ x_3 \end{pmatrix} \mapsto \begin{pmatrix} x_1 \\ x_2 \\ x_3 \end{pmatrix} + \begin{pmatrix} t_1 \\ t_2 \\ t_3 \end{pmatrix}.$$

Pe de altă parte, rotația de axă Ox_3 și unghi θ este dată de

$$\begin{pmatrix} x_1 \\ x_2 \\ x_3 \end{pmatrix} \mapsto \begin{pmatrix} \cos \theta & -\sin \theta & 0 \\ \sin \theta & \cos \theta & 0 \\ 0 & 0 & 1 \end{pmatrix} \cdot \begin{pmatrix} x_1 \\ x_2 \\ x_3 \end{pmatrix},$$

iar scalarea de factori s_1, s_2, s_3 (de-a lungul celor trei axe) se reprezintă ca

$$\begin{pmatrix} x_1 \\ x_2 \\ x_3 \end{pmatrix} \mapsto \begin{pmatrix} s_1 & 0 & 0 \\ 0 & s_2 & 0 \\ 0 & 0 & s_3 \end{pmatrix} \cdot \begin{pmatrix} x_1 \\ x_2 \\ x_3 \end{pmatrix}.$$

Se observă o diferență calitativă evidentă între translație, pe de o parte, și rotație și scalare, pe de altă parte. O notație uniformă, care înglobează toate cele trei tipuri de transformări poate fi obținută utilizând coordonate omogene. Mai precis, fie $f : \mathbb{R}^3 \rightarrow \mathbb{R}^3$ o aplicație afină arbitrară a lui \mathbb{R}^3 , dată prin

$$\begin{pmatrix} x_1 \\ x_2 \\ x_3 \end{pmatrix} \mapsto \begin{pmatrix} a_{11} & a_{12} & a_{13} \\ a_{21} & a_{22} & a_{23} \\ a_{31} & a_{32} & a_{33} \end{pmatrix} \cdot \begin{pmatrix} x_1 \\ x_2 \\ x_3 \end{pmatrix} + \begin{pmatrix} b_1 \\ b_2 \\ b_3 \end{pmatrix}. \quad (3.1)$$

Relația (3.1) poate fi rescrisă, introducând a patra coordonată și ținând cont de forma aplicației ι , sub forma

$$\begin{pmatrix} x_1 \\ x_2 \\ x_3 \\ 1 \end{pmatrix} \mapsto \begin{pmatrix} a_{11} & a_{12} & a_{13} & b_1 \\ a_{21} & a_{22} & a_{23} & b_2 \\ a_{31} & a_{32} & a_{33} & b_3 \\ 0 & 0 & 0 & 1 \end{pmatrix} \cdot \begin{pmatrix} x_1 \\ x_2 \\ x_3 \\ 1 \end{pmatrix}.$$

Trcând la coordonate omogene (X_1, X_2, X_3, X_0) se obține transformarea

$$\begin{pmatrix} X_1 \\ X_2 \\ X_3 \\ X_0 \end{pmatrix} \mapsto \begin{pmatrix} a_{11} & a_{12} & a_{13} & b_1 \\ a_{21} & a_{22} & a_{23} & b_2 \\ a_{31} & a_{32} & a_{33} & b_3 \\ 0 & 0 & 0 & 1 \end{pmatrix} \cdot \begin{pmatrix} X_1 \\ X_2 \\ X_3 \\ X_0 \end{pmatrix}.$$

Acestei transformări afine îi corespunde matricea 4×4

$$\mathcal{M}_f = \begin{pmatrix} a_{11} & a_{12} & a_{13} & b_1 \\ a_{21} & a_{22} & a_{23} & b_2 \\ a_{31} & a_{32} & a_{33} & b_3 \\ 0 & 0 & 0 & 1 \end{pmatrix}.$$

În general, orice matrice inversabilă $A = (a_{i,j})_{i,j=1,2,3,0}$ cu 4 linii și 4 coloane induce o transformare geometrică $\mathbf{T}_A : \mathbb{P}^3\mathbb{R} \rightarrow \mathbb{P}^3\mathbb{R}$, dată de formula

$$\begin{pmatrix} X_1 \\ X_2 \\ X_3 \\ X_0 \end{pmatrix} \mapsto A \cdot \begin{pmatrix} X_1 \\ X_2 \\ X_3 \\ X_0 \end{pmatrix}.$$

În cazul în care elementele ultimei linii a matricei A sunt de forma $a_{01} = 0$, $a_{02} = 0$, $a_{03} = 0$, $a_{00} = \alpha$ ($\alpha \neq 0$), această transformare duce punctele reale în puncte reale și punctele de la infinit în puncte de la infinit. În general, însă, transformările induse de matrice 4×4 pot transforma unele puncte reale în puncte imaginare și reciproc. Geometric, este vorba de matrice induse de transformări perspective ale lui \mathbb{R}^3 , care transformă (unele) drepte paralele în drepte concurente și invers.

Exemplul 3.2 Să considerăm matricea

$$A = \begin{pmatrix} 1 & 2 & 0 & 1 \\ 0 & 1 & 3 & -1 \\ 1 & 0 & 0 & -1 \\ 1 & 1 & -1 & 2 \end{pmatrix}.$$

Atunci punctul real $P = [1, 1, 1, 1]$ este transformat în punctul real $[4, 3, 0, 3] = [\frac{4}{3}, 1, 0, 1]$. În schimb, imaginea punctului real $Q = [1, 3, 6, 1]$ prin \mathbf{T}_A este punctul de la infinit $[8, 20, 0, 0]$ iar punctul de la infinit $R = [1, -1, 2, 0]$ are ca imagine punctul real $[-1, 5, 1, -2] = [\frac{1}{2}, -\frac{5}{2}, -\frac{1}{2}, 1]$.

3.3 Transformări de modelare standard în OpenGL. Utilizarea cuaternionilor

3.4 Exerciții

Exercițiul 3.4.1 Determinați λ astfel ca în planul proiectiv $\mathbb{P}^2\mathbb{R}$ să aibă loc egalitatea $[1, 2, 3] = [2, 4, \lambda^2 - \lambda]$.

Exercițiul 3.4.2 Determinați punctul de la infinit al dreptei d din \mathbb{R}^3 având ecuațiile implicite

$$\begin{cases} 2x_1 + x_2 + 2x_3 - 6 = 0 \\ -x_1 + x_2 - 3x_3 + 2 = 0. \end{cases}$$

Exercițiul 3.4.3 Pentru transformarea \mathbf{T}_A de la exercițiul 3.2 dați și alte exemple de puncte reale care au ca imagine puncte de la infinit și reciproc. Determinați mulțimea tuturor punctelor de la infinit care au ca imagine puncte de la infinit și stabiliți dimensiunea acestui loc geometric.

Exercițiul 3.4.4 Determinați matricea compunerii dintre translația de vector $\mathbf{t} = (2, 3, 1)$ și scalarea de factori $(-1, 3, 5)$. Care este rezultatul dacă cele două transformări sunt aplicate în ordine inversă?

Exercițiul 3.4.5 Determinați produsul cuaternionilor $q_1 = 1 - 2i - 2j - 4k$, $q_2 = 2 + i + 3j - k$.

Capitolul 4

Reprezentarea scenelor 3D

4.1 Coordonate de vizualizare

Precizarea faptului că se dorește realizarea unei scene 3D se face indicând modul de lucru matriceal, precum și precizând informații legate de poziția observatorului și de direcția de observare:

```
glMatrixMode (GL_MODELVIEW);  
gluLookAt (x0, y0, z0, xref, yref, zref, Vx, Vy, Vz);
```

Coordonatele observatorului în raport cu reperul de modelare sunt date de (x_0, y_0, z_0) , iar **coordonatele punctului de referință** P_{ref} (punctul spre care privește observatorul) sunt $(x_{\text{ref}}, y_{\text{ref}}, z_{\text{ref}})$. Vectorul $V = (V_x, V_y, V_z)$ induce **verticala din planul de vizualizare**, i.e. planul care trece prin punctul

P_0 și este perpendicular pe vectorul $N = \overrightarrow{P_{\text{ref}}P_0} = P_0 - P_{\text{ref}}$ (se presupune că V și N nu sunt coliniari, altminteri obținem erori de reprezentare). Valorile implicite (utilizate inclusiv în cazul în care reprezentăm scene 2D, fără a schimba reperul de modelare) sunt $P_0 = (0, 0, 0)$, $P_{\text{ref}} = (0, 0, -1)$, respectiv $V = (0, 1, 0)$.

Indicarea punctelor P_0 , P_{ref} și a vectorului V generează un nou sistem de coordonate, numite **coordonate de vizualizare**. Originea acestui sistem este punctul P_0 , iar axele sistemului sunt date de reperul ortonormat (u, v, n) , obținut după cum urmează:

$$n = \frac{N}{\|N\|}, \quad u = \frac{V \times n}{\|V\|}, \quad v = n \times u.$$

Vectorul v este colinar cu proiecția $V - \frac{(V, N) \cdot N}{\|N\|^2}$ vectorului V pe planul de vizualizare, iar în cazul în care V este conținut în acest plan (i.e. V este perpendicular pe N) are loc relația $v = \frac{V}{\|V\|}$. Trecerea de la coordonate de modelare la coordonate de vizualizare se face în două etape:

1. Se translatează originea reperului de modelare în originea reperului de vizualizare, iar matricea acestei transformări este

$$T = \begin{pmatrix} 1 & 0 & 0 & -x_0 \\ 0 & 1 & 0 & -y_0 \\ 0 & 0 & 1 & -z_0 \\ 0 & 0 & 0 & 1 \end{pmatrix}.$$

2. Se efectuează o rotație, astfel ca sistemul (u, v, n) să fie transformat în sistemul canonic (e_1, e_2, e_3) care direcționează axele reperului de modelare.

Matricea 3×3 care transformă sistemul (e_1, e_2, e_3) în (u, v, n) este matricea ortogonală

$$A = \begin{pmatrix} u_x & v_x & n_x \\ u_y & v_y & n_y \\ u_z & v_z & n_z \end{pmatrix},$$

deci trecerea de la (u, v, n) la (e_1, e_2, e_3) este realizată de $A^{-1} = A^t$. Matricea 4×4 corespunzătoare acestei schimbări de reper este

$$R = \begin{pmatrix} u_x & u_y & u_z & 0 \\ v_x & v_y & v_z & 0 \\ n_x & n_y & n_z & 0 \\ 0 & 0 & 0 & 1 \end{pmatrix}.$$

În concluzie, trecerea de la reperul de modelare la reperul de vizualizare este dată de matricea

$$\mathcal{M}_{\text{coord.mod, coord.viz}} = R \cdot T = \begin{pmatrix} u_x & u_y & u_z & -\langle u, P_0 \rangle \\ v_x & v_y & v_z & -\langle v, P_0 \rangle \\ n_x & n_y & n_z & -\langle n, P_0 \rangle \\ 0 & 0 & 0 & 1 \end{pmatrix}$$

(prin abuz de notație am identificat punctul P_0 cu vectorul P_0 din \mathbf{R}^3).

4.2 Transformări de proiecție

4.2.1 Proiecții ortogonale

Utilizarea unei proiecții ortogonale se face precizând modul matriceal de lucru (proiecție), precum și indicând paralelipipedul dreptunghic care urmează să fie decupat:

```
glMatrixMode (GL_PROJECTION);
glOrtho (xwmin, xwmax, ywmin, ywmax, dnear, dfar);
```

Coordonatele în raport cu care se lucrează sunt cele de vizualizare, deci originea este situată în punctul P_0 , iar axele sistemului sunt date de vectorii u, v, n . Paralelipipedul care urmează să fie decupat este delimitat de planele $x = xw_{\min}, x = xw_{\max}; y = yw_{\min}, y = yw_{\max}$, respectiv $z = z_{\text{near}}, z = z_{\text{far}}$, unde $z_{\text{near}} = -d_{\text{near}}, z = z_{\text{far}}, z_{\text{far}} = -d_{\text{far}}$. Valorile implicite sunt $-1.0, 1.0, -1.0, 1.0, -1.0, 1.0$ (valori normalizate), iar pentru valori arbitrare se efectuează normalizarea (aducerea parametrilor indicați la valorile implicite), care este o scalare, iar matricea 4×4 asociată este

$$\mathcal{M}_{\text{orto, norm}} = \begin{pmatrix} \frac{2}{xw_{\max} - xw_{\min}} & 0 & 0 & -\frac{xw_{\max} + xw_{\min}}{xw_{\max} - xw_{\min}} \\ 0 & \frac{2}{yw_{\max} - yw_{\min}} & 0 & -\frac{yw_{\max} + yw_{\min}}{yw_{\max} - yw_{\min}} \\ 0 & 0 & -\frac{2}{z_{\text{near}} - z_{\text{far}}} & \frac{z_{\text{near}} + z_{\text{far}}}{z_{\text{near}} - z_{\text{far}}} \\ 0 & 0 & 0 & 1 \end{pmatrix}. \quad (4.1)$$

4.2.2 Proiecții paralele oblice

4.2.3 Proiecții perspective

Bibliotecile OpenGL conțin două funcții care permit realizarea unei proiecții centrale (perspectivă) pentru o scenă dată. Prima dintre ele are un caracter general, indicând un trunchi de piramidă care urmează să fie decupat:

```
glMatrixMode (GL_PROJECTION);  
glFrustum (xwmin, xwmax, ywmin, ywmax, dnear, dfar);
```

Cea de-a doua funcție, conținută în biblioteca GLU, permite realizarea unei proiecții perspective simetrice:

```
glMatrixMode (GL_PROJECTION);  
gluPerspective (theta, aspect, dnear, dfar);
```

4.3 Exerciții

Exercițiul 4.3.1 Se presupune că s-a apelat funcția `gluLookAt (1, 1, 1, 2, 1, 1, 0, 1, 0)`. Calculați versorul care direcționează versorul din planul de vizualizare.

Exercițiul 4.3.2 Care sunt valorile implicite pentru verticala din planul de vizualizare, indicată în funcția `gluLookAt`?

Exercițiul 4.3.3 Se apelează funcția `glOrtho (10, 30, 20, 40, 5, 10)`. Calculați suma elementelor de pe diagonala principală a matricei.

Exercițiul 4.3.4 De ce în cazul funcției `glFrustum` sunt necesari șase parametri, iar în cazul funcției `gluPerspective` doar patru?

Capitolul 5

Iluminarea scenelor

5.1 Caracteristici ale surselor de lumină

Precizarea caracteristicilor unei surse de lumină se face cu ajutorul comenzii

```
glLight* (nume, proprietate, valoare)
```

Parametrii care pot fi luați în considerare pentru o sursă de lumină și care sunt utilizați în formula (5.1), precum și valorile lor implicite sunt descriși în tabelul de mai jos:

Numele parametrului	Valoarea implicită
GL_AMBIENT	(0.0, 0.0, 0.0,1.0)
GL_DIFFUSE	(1.0, 1.0, 1.0, 1.0)
	sau (0.0, 0.0, 0.0,1.0)
GL_SPECULAR	(1.0, 1.0, 1.0, 1.0)
	sau (0.0, 0.0, 0.0,1.0)
GL_POSITION	(0.0, 0.0, 1.0, 0.0)
GL_SPOT_DIRECTION (θ_l)	(0.0, 0.0, -1.0)
GL_SPOT_EXPONENT (a_l)	0.0
GL_SPOT_CUTOFF	180.0
GL_CONSTANT_ATTENUATION (a_0)	1.0
GL_LINEAR_ATTENUATION (a_1)	0.0
GL_QUADRATIC_ATTENUATION (a_2)	0.0

5.2 Modele de iluminare

Un model de iluminare este definit de patru componente:

- intensitatea luminii ambientale globale;
- poziția punctului de vizualizare față de scenă;
- diferențierea fețelor obiectelor;

- modul în care este calculată culoarea speculară (separat de componenta ambientală și cea difuză și după texturare).

Selectarea proprietăților modelului de iluminare se face folosind comanda

```
glLightModel* (proprietate, valoare)
```

Tabelul de mai jos prezintă valorile parametrului `proprietate`.

Proprietatea modelului de iluminare	Valoarea implicită
GL_LIGHT_MODEL_AMBIENT	(0.2, 0.2, 0.2, 1.0)
GL_LIGHT_MODEL_LOCAL_VIEWER	GL_FALSE
GL_LIGHT_MODEL_TWO_SIDE	GL_FALSE
GL_LIGHT_MODEL_COLOR_CONTROL	GL_SINGLE_COLOR

5.3 Definirea caracteristicilor materialelor

Pentru fiecare obiect desenat trebuie precizată culoarea ”materialului” din care este confecționat, prin comanda

```
glMaterial* (fatasupr, proprietate, valoare)
```

Tabelul de mai jos prezintă valorile parametrului `proprietate`.

Proprietatea materialului	Valoarea implicită
GL_AMBIENT	(0.2, 0.2, 0.2, 1.0)
GL_DIFFUSE	(0.8, 0.8, 0.8, 1.0)
GL_SPECULAR	(0.0, 0.0, 0.0, 1.0)
GL_SHININESS	0.0
GL_EMISSION	(0.0, 0.0, 0.0, 1.0)
GL_COLOR_INDEXES	(0,1,1)

5.4 Formula generală de calcul

vertex color =

$$\begin{aligned}
 & \text{emission}_{\text{material}} + \\
 & \text{ambient}_{\text{light model}} * \text{ambient}_{\text{material}} + \\
 & \sum_{i=0}^{N-1} \text{attenuation factor}_i \cdot \text{spotlight effect}_i \cdot \\
 & (\text{ambient term} + \text{diffuse term} + \text{specular term})_i,
 \end{aligned} \tag{5.1}$$

unde N este numărul surselor de lumină.

Pentru o sursă (punctuală) fixată factorul de atenuare (attenuation factor) se calculează cu formula

$$\text{attenuation factor} = \frac{1}{a_0 + a_1 d + a_2 d^2},$$

unde d este distanța de la sursa de lumină la vârful considerat.

Efectul de tip spot este cuantificat de factorul

$$\text{spotlight effect} = \begin{cases} 1, & \text{dacă } \theta_l = 180^0 \\ 0, & \text{dacă } \mathbf{v}_{\text{obj}} \cdot \mathbf{v}_{\text{light}} < \cos \theta_l, \\ (\mathbf{v}_{\text{obj}} \cdot \mathbf{v}_{\text{light}})^{a_l}, & \text{în celelalte cazuri.} \end{cases}$$

Cu \mathbf{v}_{obj} este notat vectorul unitar orientat de la sursa de lumină la obiectul iluminat, iar cu $\mathbf{v}_{\text{light}}$ este notat versorul direcției spotului de lumină `GL_SPOT_DIRECTION`.

Termenul ambiental corespunzător unei surse de lumină este

$$\text{ambient term} = \text{ambient}_{\text{light}} * \text{ambient}_{\text{material}}.$$

Reflexia difuză pentru o sursă de lumină este descrisă de factorul

$$\text{diffuse term} = \begin{cases} (\mathbf{L} \cdot \mathbf{n}) \cdot \text{diffuse}_{\text{light}} * \text{diffuse}_{\text{material}}, & \text{dacă } \mathbf{L} \cdot \mathbf{n} > 0 \\ 0, & \text{dacă } \mathbf{L} \cdot \mathbf{n} \leq 0, \end{cases}$$

unde \mathbf{L} este vectorul unitar orientat de la vârful la sursa de lumină (în cazul surselor direcționale este opusul direcției acesteia, normat), iar \mathbf{n} este normala la suprafață în vârful considerat. Reflexia speculară este dată de

$$\text{specular term} = \begin{cases} (\mathbf{H} \cdot \mathbf{n})^{\text{shininess}} \cdot \text{specular}_{\text{light}} * \text{specular}_{\text{material}}, & \text{dacă } \mathbf{L} \cdot \mathbf{n} > 0 \\ 0, & \text{dacă } \mathbf{L} \cdot \mathbf{n} \leq 0, \end{cases}$$

unde $\mathbf{H} = \frac{\mathbf{L} + \mathbf{V}}{\|\mathbf{L} + \mathbf{V}\|}$, iar \mathbf{V} este versorul determinat de vârful considerat și poziția observatorului (se presupune că este activat modelul de iluminare cu observator local, i.e. `GL_LIGHT_MODEL_LOCAL_VIEWER` are valoarea `GL_TRUE`).

5.5 Umbre

5.6 Exerciții

Exercițiul 5.6.1 Care este vectorul de poziție implicit pentru o sursă de lumină?

Exercițiul 5.6.2 Care este combinația RGB corespunzătoare unui vârf cu proprietățile de material `GL_EMISSION (0.3, 0.4, 0.1)`, `GL_AMBIENT (1.0, 0.4, 0.5)`, dacă `GL_LIGHT_MODEL_AMBIENT` este `(0.4, 0.5, 0.2)` și nu este activată nicio sursă de lumină?

Exercițiul 5.6.3 Determinați valoarea termenului difuz (*diffuse term*) pentru un vârf de coordonate $(2, 3, 4)$ cu proprietățile de material `GL_DIFFUSE=(0.3, 0.4, 0.2)` știind că normala la suprafață în vârful respectiv este $(0, 0, 1)$ și sursa de lumină este situată în punctul $(3, 4, 3)$?

Exercițiul 5.6.4 Care este factorul de atenuare implicit pentru o sursă aflată la distanța 5 de un vârf?

Capitolul 6

Efecte vizuale

6.1 Transparență; amestecare; factor α

Factorul destinație (fragmentul deja procesat) și factorul sursă (obiectul care urmează să fie procesat și înregistrat) sunt "amestecate" utilizând o funcție $\varphi(D, F_d, S, F_s)$. Combinarea se realizează după formula

$$\varphi(D, F_d, S, F_s) = F_d * D + F_s * S, \quad (6.1)$$

urmată de 'clamp'.

Constanta simbolică	Factor RGB	Factor A
GL.ZERO	(0, 0, 0)	0
GL.ONE	(1, 1, 1)	1
GL.SRC_ALPHA	(A_s, A_s, A_s)	A_s
GL.ONE_MINUS_SRC_ALPHA	$(1, 1, 1) - (A_s, A_s, A_s)$	$1 - A_s$
GL.DST_ALPHA	(A_d, A_d, A_d)	A_d
GL.ONE_MINUS_DST_ALPHA	$(1, 1, 1) - (A_d, A_d, A_d)$	$1 - A_d$
GL.SRC_COLOR	(R_s, G_s, B_s)	A_s
GL.ONE_MINUS_SRC_COLOR	$(1, 1, 1) - (R_s, G_s, B_s)$	$1 - A_s$
GL.DST_COLOR	(R_d, G_d, B_d)	A_d
GL.ONE_MINUS_DST_COLOR	$(1, 1, 1) - (R_d, G_d, B_d)$	$1 - A_d$
GL.CONSTANT_COLOR	(R_c, G_c, B_c)	A_c
GL.ONE_MINUS_CONSTANT_COLOR	$(1, 1, 1) - (R_c, G_c, B_c)$	$1 - A_c$
GL.CONSTANT_ALPHA	(A_c, A_c, A_c)	A_c
GL.ONE_MINUS_CONSTANT_ALPHA	$(1, 1, 1) - (A_c, A_c, A_c)$	$1 - A_c$
GL.SRC_ALPHA_SATURATE	$(f, f, f); f = \min(A_s, 1 - A_d)$	1

Mod de amestecare	Expresie matematică (φ)
GL_FUNC_ADD	$F_s \cdot S + F_d \cdot D$
GL_FUNC_SUBTRACT	$F_s \cdot S - F_d \cdot D$
GL_FUNC_REVERSE_SUBTRACT	$F_d \cdot D - F_s \cdot S$
GL_MIN	$\min(F_s \cdot S, F_d \cdot D)$
GL_MAX	$\max(F_s \cdot S, F_d \cdot D)$
GL_LOGIC_OP	$F_s \text{ op } F_d$

6.2 Teste de adâncime

O altă clasă de funcții standard în OpenGL sunt cele care permit efectuarea unor teste de adâncime pentru selectarea suprafețelor vizibile. Pentru a putea utiliza aceste facilități, trebuie în primul rând, modificată funcția GLUT de inițializare `glutInitDisplayMode`, adăugându-i argumentul `GLUT_DEPTH`, care specifică utilizarea buffer-ului de adâncime (depth buffer). De exemplu, dacă utilizăm un singur buffer de culoare și dorim să activăm buffer-ul de adâncime, în programul principal va figura comanda:

```
glutInitDisplayMode (GLUT_SINGLE | GLUT_RGB | GLUT_DEPTH);
```

Valorile pentru buffer-ul de adâncime pot fi inițializate cu funcția

```
glClear (GL_DEPTH_BUFFER_BIT);
```

Alternativ, acestea pot fi inițializate simultan cu cele ale buffer-ului de culoare:

```
glClear (GL_COLOR_BUFFER_BIT | GL_DEPTH_BUFFER_BIT);
```

Activarea propriu-zisă a rutinelor de detectare a vizibilității se face cu funcția

```
glEnable (GL_DEPTH_TEST);
```

iar dezactivarea lor se face, în mod corespunzător, cu funcția

```
glDisable (GL_DEPTH_TEST);
```

În OpenGL, valorile pentru care se efectuează testul de adâncime sunt normalizate, fiind situate în intervalul $[0.0, 1.0]$ (0.0 corespunde planului apropiat de decupare, iar 1.0 planului îndepărtat de decupare). Valoarea maximă inițială pentru care se efectuează testarea poate fi modificată adăugând înainte de comanda `glClear (GL_DEPTH_BUFFER_BIT);` funcția

```
glClearDepth (maxDepth);
```

În acest fel, testul de adâncime va fi efectuat doar pentru obiecte având adâncimea situată în intervalul $[0, maxDepth]$. În particular, această funcție este utilă atunci când scena pe care vrem să o reprezentăm conține obiecte foarte îndepărtate de obiectele din prim plan.

O altă facilitate disponibilă în OpenGL este modificarea condiției de testare efectuată de rutinele de detectare a vizibilității. O astfel de condiție poate fi specificată apelând funcția

```
glDepthFunc (test);
```

Parametrul `test` poate avea ca valoare oricare dintre constantele simbolice

`GL_LESS`, `GL_GREATER`, `GL_EQUAL`, `GL_NOTEQUAL`, `GL_LEQUAL`, `GL_GEQUAL`, `GL_NEVER`, `GL_ALWAYS`.

Valoarea implicită a lui `test` este `GL_LESS`, cu alte cuvinte sunt testate obiectele având adâncimea mai mică decât `maxDepth`.

6.3 Efectul de ceață

Culoarea unui fragment este stabilită cu o formulă de tipul

$$C = f \cdot C_i + (1 - f) \cdot C_f. \quad (6.2)$$

Factorul ceață f este dependent de distanță, $f = f(z)$; aceasta depinde de modelul utilizat (liniar, exponențial, exponențial pătratic).

Funcția OpenGL specifică este

```
glFog* (parametru, valoare_parametru);
```

parametru	valoare_parametru
	GL_LINEAR
GL_FOG_MODE	GL_EXP GL_EXP2
GL_FOG_DENSITY (ρ)	
GL_FOG_START	
GL_FOG_END	
GL_FOG_COLOR	

6.4 Exerciții

Exercițiul 6.4.1 Se presupune că se utilizează modelul de amestecare în care factorul sursă are toate componentele egale cu `GL_SRC_ALPHA`, iar factorul destinație `GL_ONE_MINUS_SRC_ALPHA`. Se desenează un pătrat verde, apoi un pătrat roșu. Care va fi combinația RGB în zona de suprapunere, dacă fundalul este (0.0, 0.0, 0.0, 1.0) și ambele pătrate au componenta `ALPHA = 0.5`?

Exercițiul 6.4.2 Care este valoarea implicită a funcției f (factor ceață) pentru $z = 3$?

Capitolul 7

Texturare

7.1 Principii generale

Maparea texturilor presupune realizarea următoarelor patru etape:

1. crearea unei texturi sau a unui obiect textură și specificarea caracteristicilor texturii;
2. indicarea modului în care textura este aplicată pe pixelii imaginii;
3. activarea texturării;
4. reprezentarea scenei, indicând atât coordonatele de texturare (s, t, r, q) , cât și cele geometrice (x, y, z, w) .

7.2 Texturi 1D

În cazul 1-dimensional, coordonatele de texturare sunt situate în intervalul $[0.0, 1.0]$ (0.0 reprezintă începutul texturii, iar 1.0 sfârșitul acesteia). În momentul în care este apelată o funcție de tipul

```
glTexCoord* (coord);
```

urmată de

```
glVertex* (pt);
```

coordonata `coord` a texturii este asociată vârfului `pt`.

Definirea unei texturi 1D se face apelând funcția

```
glTexImage1D (.....);
```

având parametrii

- `target`: tipul de textură (`GL_TEXTURE_1D`);
- `level`: nivelul de texturare (0);
- `intformat`: numărul valorilor (de culoare) utilizate pentru fiecare pixel; în cazul codului RGBA acest număr este 4;

- **width**: lățimea este o putere a lui 2; trebuie să fie coerentă și consistentă cu modul în care a fost definită textura;
- **border**: este un număr egal cu 0,1 sau 2 și indică numărul pixelilor de pe frontieră;
- **format**: poate fi o constantă simbolică de forma `GL_RGB`; `GL_RGBA`;
- **type**: tipul este indicat printr-o constantă simbolică `GL_UNSIGNED_BYTE`; `GL_BYTE`;
- **texels**: se indică unde este localizată textura.

7.3 Texturi 2D

În cazul texturilor 2D, prezentăm pașii urmați pentru manevrarea texturilor, care reflectă cele patru etape generale urmate pentru maparea texturilor.

7.3.1 Crearea unui obiect textură și specificarea proprietăților acestuia

Obiectele textură memorează date referitoare la textură, făcându-le accesibile imediat. Fiecărui obiect îi este asociată o singură textură. Sunt parcurși câțiva pași intermediari, descriși mai jos, împreună cu funcțiile OpenGL asociate.

- *Generarea numelor obiectelor textură:*

```
glGenTextures (n, *texNames);
```

Prin această funcție sunt *rezervați* n identificatori de textură în vectorul `texNames`, declarat explicit în procedura de inițializare `init`. Rezervarea are ca semnificație faptul că numele din `texNames` sunt marcate ca fiind utilizate, ele primesc caracteristici efective atunci când sunt prima dată legate cu funcțiile specifice. **Observație.** De menționat că funcția OpenGL cu efect contrar celei descrise este funcția de ștergere

```
glDeleteTextures (n, *texNames);
```

- *Crearea și utilizarea obiectelor textură:*

```
glBindTexture (target, id);
```

Aici `target` este parametrul care descrie dimensiunea texturii; fiind vorba de o textură 2-dimensională este `GL_TEXTURE_2D`, iar `id` este numele texturii. Prin această funcție este *creat* un nou obiect textură, cu numele `id`. La apelarea lui `glBindTexture (...)`; în cadrul funcției de desenare, textura este legată de obiectul desenat, ceea ce este corelat cu corespondența dintre coordonatele de texturare și cele de modelare. De fapt, `glBindTexture (...)`; precizează obiectul textură activ.

- *Specificarea caracteristicilor texturii:*

```
glTexImage2D (.....);
```

având parametrii asemănători cu cei din cazul 1-dimensional

- **target:** tipul de textură (`GL_TEXTURE_2D`);
- **level, intformat:** similar cu cazul 1D;
- **width, height:** lăţimea și înălţimea texturii sunt de forma $2^w + b_w$, respectiv $2^h + b_h$ (altfel spus, puteri ale lui 2 la care se adaugă dimensiunile frontierei);
- **border:** dimensiunea frontierei (b_w, b_h);
- **format, type, texels:** similar cu cazul 1D.

Trebuie menţionat faptul că pot fi definite și subtexturi, prin funcția

```
glTexSubimage2D (.....);
```

având parametrii similari

- **target:** tipul de textură (`GL_TEXTURE_2D`);
- **level:** similar cu funcția `glTexImage2D`;
- **xoffset, yoffset:** sunt numere întregi, pozitive, care precizează unde anume este așezată subtextura în structura de texeli (cu convenția că (0,0) este în stânga jos);
- **width, height:** lăţimea și înălţimea subtexturii;
- **format, type, texels:** similar cu funcția `glTexImage2D`.

Semnificația acesti funcții este că se definește o structură prin care este înlocuită parțial / total o porțiune a texturii active (curente).

7.3.2 Precizarea unor reguli referitoare la modul în care texelii sunt așezați pe structura de pixeli

Două reguli sunt luate în considerare: *repetarea texturii* și *filtrare*. Ambele sunt legate de faptul că atât structura de texeli cât și cea de pixeli sunt discrete, iar scopul lor este de a indica modul în care se procedează atunci când nu există o corespondență 1:1 între cele două structuri. Forma generală a funcției asociate este

```
glTexParameter* (target, pname, value);
```

Parametrul **target** indică tipul de textură, fiind `GL_TEXTURE_2D`. Ceilalți parametri depind ca semnificație și valoare de regula la care se face referire.

- *Repetarea texturii.* În acest caz (și ținând cont că suntem în context bidimensional) **pname** poate lua valorile

```
GL_TEXTURE_WRAP_S            GL_TEXTURE_WRAP_T
```

s, t sunt primele două coordonate ale texturii 2D, semnificația fiind că este precizată regula aplicată pentru coordonata indicată. În particular, pot fi utilizate reguli diferite pentru cele două coordonate de texturare.

Parametrul `value` poate avea una din valorile

GL_CLAMP	GL_REPEAT
----------	-----------

În cazul lui `GL_CLAMP`, dacă se parcurge toată textura de-a lungul coordonatei considerate, valoarea ultimului texel este folosită în continuare pentru completarea tuturor pixelilor. În cazul lui `GL_REPEAT`, dacă se parcurge toată textura de-a lungul coordonatei considerate, se repornește parcurgerea texturii de la început, aceasta fiind repetată de câte ori este necesar.

- *Filtrare.* Aici apare explicit faptul ca se poate întâmpla ca la randarea unei scene sa nu existe o corespondență biunivocă între texeli și pixeli. Astfel, se poate ca un pixel sa corespundă unei porțiuni mici a structurii de texeli sau, invers, un pixel sa corespundă unei structuri de texeli, iar rolul regulii de filtrare este de a stabili ce texel îi este asociat pixelului considerat. Parametrul `pname` poate avea, corespunzător celor două situații, valorile

GL_TEXTURE_MAG_FILTER	GL_TEXTURE_MIN_FILTER
-----------------------	-----------------------

Parametrul `value` poate avea una din valorile

GL_NEAREST	GL_LINEAR
------------	-----------

Semnificația valorilor este următoarea: pentru `GL_NEAREST` se alege texelul având coordonatele cele mai apropiate de centrul pixelului, în timp ce pentru `GL_LINEAR` este utilizată o tehnică de tipul *moving window*, fiind considerat un tablou de 2×2 texeli apropiați de centrul pixelului, după care se face o mediere.

7.3.3 Coordonate de modelare și coordonate de texturare

Coordonatele de modelare sunt cele utilizate în mod curent în funcția de desenare. Fiecărui vârf îi sunt asociate, așa cum se știe, cele trei coordonate spațiale (x, y, z) . În cazul texturilor 2D coordonatele de texturare sunt s și t , ambele în intervalul $[0.0, 1.0]$. Cu alte cuvinte, coordonatele de texturare posibile sunt reprezentate de pătratul $[0.0, 1.0] \times [0.0, 1.0]$. În cadrul funcției de desenare, fiecărui vârf îi sunt asociate anumite coordonate de texturare. Este suficient, pentru o primitivă grafică 2D, să fie indicate coordonatele de texturare pentru trei dintre vârfuri, coordonatele de texturare ale punctelor din interior rezultă automat. Motivație: dacă au fost fixate trei puncte necoliniare a, b, c în spațiul de texturare și trei puncte necoliniare A, B, C în spațiul de modelare, există o unică aplicație afină care transformă punctele a, b, c în A, B , respectiv C .

În concluzie, o textură 2D este: (i) un tablou dreptunghiular de texeli având dimensiunile puteri ale lui 2; (ii) o mulțime înzestrată cu coordonate de texturare (pătratul standard). Atunci când tabloul de texeli are același număr de linii / coloane și atunci când textura este aplicată direct pe un pătrat, corespondența dintre pixeli și texeli este ușor de controlat și nu apar fenomene de deformare.

În caz contrar (situație mai des întâlnită), trebuie manevrați în mod convenabil parametrii disponibili.

Exemplu. Cum se poate proceda pentru a construi o textură care să acopere cât mai bine / fără deformări un dreptunghi $ABCD$ având raportul dimensiunilor $\frac{l}{L} = \frac{1}{3}$?

Fie h_T, l_T înălțimea și lățimea texturii (ambele sunt puteri ale lui 2). Se alege h_T, l_T astfel ca $\frac{h_T}{l_T}$ să fie un raport de puteri ale lui 2 cât mai aproape de $\frac{1}{3}$: de exemplu luăm $h_T = 32, l_T = 64$, caz în care $\frac{h_T}{l_T} = \frac{1}{2}$. În continuare, se stabilește înălțimea reală ξ până unde se umple textura, pe baza relației

$$\frac{\xi}{l_T} = \frac{1}{3},$$

deci

$$\xi = \frac{l_T}{3} = \frac{64}{3} \approx 21.$$

În concluzie, pot fi umplute 22 de linii de texeli cu conținutul efectiv al texturii, celorlalți fiindu-le alocat negru. Asocierea coordonatelor de texturare pentru vârfurile dreptunghiului va fi

$$(0, 0) \mapsto A, \quad (1, 0) \mapsto B, \quad (1, \frac{2}{3}) \mapsto C, \quad (0, \frac{2}{3}) \mapsto D.$$

7.4 Exerciții

Exercițiul 7.4.1 Ce se întâmplă cu o textură 1D în cazul în care sunt asociate coordonate de texturare din afara intervalului $[0.0, 1.0]$?

Exercițiul 7.4.2 Se presupune că punctelor $(8.0, 7.0)$, $(6.0, 11.0)$, $(13.0, 13.0)$ din spațiul de modelare le sunt asociate coordonatele de texturare $(0.2, 0.4)$, $(0.6, 0.8)$, respectiv $(0.2, 0.2)$. Care sunt coordonatele de texturare ale punctului $(10, 11)$?

Capitolul 8

Reprezentarea unor cazuri particulare de curbe și suprafețe

8.1 Obiecte quadrice

8.1.1 Conice și quadrice - breviar teoretic

Din motive de simetrie, vom nota coordonatele din plan cu x_1, x_2 , iar pe cele din spațiul tridimensional cu x_1, x_2, x_3 . Descriem mai întâi conicele - locuri geometrice din plan, apoi, prin analogie, sunt introduse quadricele.

Definiții.

O **conică** (în planul \mathbf{R}^2) este o mulțime de puncte ale căror coordonate (x_1, x_2) verifică o ecuație de forma

$$a_{11}x_1^2 + 2a_{12}x_1x_2 + a_{22}x_2^2 + 2a_{13}x_1 + 2a_{23}x_2 + a_{33} = 0, \quad (8.1)$$

unde $(a_{ij})_{i,j}$ sunt coeficienți reali astfel ca $(a_{11}, a_{12}, a_{22}) \neq (0, 0, 0)$.

Pentru conica descrisă de ecuația (8.1) vom nota

$$a = \begin{pmatrix} a_{11} & a_{12} \\ a_{12} & a_{22} \end{pmatrix}, \quad A = \begin{pmatrix} a_{11} & a_{12} & a_{13} \\ a_{12} & a_{22} & a_{23} \\ a_{13} & a_{23} & a_{33} \end{pmatrix}.$$

Matricea a se numește **matricea conicei**, iar matricea A se numește **matricea extinsă a conicei**. Vom folosi, de asemenea, următoarele notații:

$$\delta := \det a, \quad \Delta := \det A, \quad r := \text{rang } a, \quad R := \text{rang } A.$$

Exemple.

- (i) $\frac{x_1^2}{9} + \frac{x_2^2}{25} - 1 = 0$. Avem $\delta = \frac{1}{225}$, $\Delta = -\frac{1}{225}$, $r = 2$, $R = 3$.
- (ii) $2x_1^2 + 8x_1x_2 + 10x_2^2 - 2x_1 + 2x_2 - 5 = 0$. Avem $\delta = 12$, $\Delta = -140$, $r = 2$, $R = 3$.
- (iii) $x_1^2 - 2x_1x_2 - x_2^2 + 4x_1 - 4 = 0$. Avem $\delta = -2$, $\Delta = 12$, $r = 2$, $R = 3$.
- (iv) $x_2^2 - 6x_1 = 0$. Avem $\delta = 0$, $\Delta = -9$, $r = 1$, $R = 3$.
- (v) $x_1^2 + 2x_1x_2 + x_2^2 - 4 = 0$. Avem $\delta = 0$, $\Delta = 0$, $r = 1$, $R = 2$.

Definiții.

O conică se numește **nede generată** dacă $\Delta \neq 0$. În cazul în care $\Delta = 0$, conica se numește **de generată**.

Un punct $P_0 \in \mathbf{R}^2$ se numește **centru** al unei conice dacă simetria de centru P_0 invariază conica.

Un punct $P_O = (x_{10}, x_{20})$ este centru al conicei dacă și numai dacă perechea (x_{10}, x_{20}) este soluție a sistemului

$$\begin{cases} a_{11}x_{10} + a_{12}x_{20} + a_{13} = 0 \\ a_{21}x_{10} + a_{22}x_{20} + a_{23} = 0. \end{cases}$$

Rezultate:

(i) Mulțimea centrelor unei conice formează o varietate liniară (mulțimea vidă, un punct sau o dreaptă).

(ii) O conică are centru unic dacă și numai dacă $\delta \neq 0$.

Propoziția 8.1 (Clasificarea afină a conicelor)

(i) Numerele δ, Δ, r și R asociate unei ecuații de forma (8.1) nu se modifică în urma unei schimbări affine de coordonate.

(ii) Printr-o schimbare de coordonate convenabil aleasă și înmulțind, eventual, ecuația obținută cu o constantă, orice ecuație de forma (8.1) poate fi adusă la una din formele de mai jos:

R	r	Forma canonică afină a conicei	Denumire
3	2	$x_1^2 + x_2^2 - 1 = 0$ $x_1^2 - x_2^2 - 1 = 0$ $-x_1^2 - x_2^2 - 1 = 0$	Elipsă Hiperbolă Elipsă vidă
3	1	$x_1^2 - 2x_2 = 0$	Parabolă
2	2	$x_1^2 + x_2^2 = 0$ $x_1^2 - x_2^2 = 0$	Punct dublu Pereche de drepte secante
2	1	$x_1^2 - 1 = 0$ $-x_1^2 - 1 = 0$	Pereche de drepte paralele Pereche de drepte vidă
1	1	$x_1^2 = 0$	Dreaptă dublă

Definiție. O **cuadrică** este un loc geometric din spațiul \mathbb{R}^3 dat prin anularea unui polinom de gradul II, adică printr-o ecuație analoagă lui (8.1), în care apar coordonatele x_1, x_2, x_3 . În mod similar se construiesc matricele a, A și definesc numerele r și R , fiind aplicate considerente și raționamente analoage celor din cazul conicelor. Mai jos sunt câteva exemple de quadrice scrise sub forma canonică.

R	r	Forma canonică afină a quadricii	Denumire
4	3	$x_1^2 + x_2^2 + x_3^2 - 1 = 0$ $x_1^2 + x_2^2 - x_3^2 - 1 = 0$ $x_1^2 - x_2^2 - x_3^2 - 1 = 0$	Elipsoid Hiperboloid cu o pânză Hiperboloid cu două pânze
4	2	$x_1^2 - x_3^2 - 2x_3 = 0$	Paraboloid hiperbolic
3	3	$x_1^2 + x_2^2 - x_3^2 = 0$	Con
3	2	$x_1^2 + x_2^2 - 1 = 0$ $x_1^2 - x_2^2 - 1 = 0$	Cilindru eliptic Cilindru hiperbolic
3	1	$x_1^2 - 2x_2 = 0$	Cilindru parabolic
2	2	$x_1^2 + x_2^2 = 0$ $x_1^2 - x_2^2 = 0$	Dreaptă dublă Pereche de plane secante
2	1	$x_1^2 - 1 = 0$	Pereche de plane paralele
1	1	$x_1^2 = 0$	Plan dublu

8.1.2 Funcții OpenGL pentru obiecte quadrice

OpenGL are, în biblioteca GLU, funcții dedicate pentru următoarele obiecte quadrice: sferă, cilindru (trunchi de con), coroană circulară și coroană circulară parțială. Pentru trasarea acestor obiecte sunt trei clase de funcții OpenGL:

- *Gestionarea obiectelor quadrice.* Crearea unui nou obiect quadric se face cu ajutorul setului de funcții

```
GLUquadricObj *qobj;  
qobj=gluNewQuadric ( );
```

Pentru ștergerea obiectului anterior creat `qobj` se folosește funcția

```
gluDeleteQuadric (qobj) ;
```

- *Controlul proprietăților obiectului.* Sunt controlate două aspecte, iar funcțiile corespunzătoare trebuie să apară în codul sursă înaintea obiectelor propriuzise.

(i) Stilul de desenare a obiectului.

```
gluQuadricDrawStyle (qobj, drawstyle);
```

Obiectul quadric este indicat cu `obj`, iar `drawstyle` poate fi una dintre constantele simbolice `GLU_POINT`, `GLU_LINE`, `GLU_SILHOUETTE`, `GLU_FILL`. Stilul corespunzător lui `GLU_SILHOUETTE` este de a desena obiectul cu segmente de dreaptă, însă muchiile care separă fețe coplanare nu sunt desenate.

(ii) Orientarea normalelor.

```
gluQuadricNormals (qobj, orientation);
```

Obiectul quadric este indicat prin `qobj`, iar orientarea (i.e. direcția spre care sunt îndreptate normalele) este indicată folosind una dintre constantele simbolice `GLU_OUTSIDE`, `GLU_INSIDE`.

- *Desenarea propriu-zisă.*

O sferă cu centrul în $(0, 0, 0)$, de rază r , pentru care sunt desenate $nLong$ meridiane și $nLat$ paralele este desenată cu

```
gluSphere (qobj, r, nLong, nLat);
```

Un trunchi de con (în cazuri particulare devine cilindru) având razele celor două baze `rBase`, respectiv `rTop`, înălțimea `height`, pentru care discurile situate în partea superioară și inferioară nu sunt desenate, este randat cu

```
gluCylinder (qobj, rBase, rTop, height, nLong, nLat);
```

O coroană circulară situată în planul orizontal, având razele celor două cercuri care o determină `rInner` și `rOuter` și centrul în origine este desenată cu

```
gluDisk (qobj, rInner, rOuter, slices, rings);
```

Mai general, se poate desena și un *sector al unei coroane circulare* ca mai sus, prin indicarea unghiurilor de început și de sfârșit `startA`, `sweepA`, măsurate în grade, în sensul acelor de ceasornic:

```
gluDisk (qobj, rInner, rOuter, slices, rings, startA, sweepA);
```

8.2 Curbe și suprafețe Bézier

8.2.1 Curbe și suprafețe Bézier - breviar teoretic

Definiții.

Pentru $n \in \mathbb{N}$ fixat, **polinoamele Bernstein de grad n** sunt definite prin

$$B_i^n(t) = C_n^i t^i (1-t)^{n-i}, \quad i \in \{0, \dots, n\},$$

unde $C_n^i = \frac{n!}{i!(n-i)!}$. Prin convenție, definim $B_i^n(t) = 0$, dacă $i \notin \{0, \dots, n\}$.

Fie $(\mathbf{b}_0, \dots, \mathbf{b}_n)$ o mulțime ordonată de puncte din \mathbb{R}^m , numită **poligon de control**. **Curba Bézier $\mathbf{b} : [0, 1] \rightarrow \mathbb{R}^m$** definită de poligonul de control $(\mathbf{b}_0, \dots, \mathbf{b}_n)$ este dată de formula

$$\mathbf{b}(t) := \sum_{i=0}^n B_i^n(t) \mathbf{b}_i. \quad (8.2)$$

Exemplu Considerăm poligonul de control

$$\mathbf{b}_0 = (1, 0), \quad \mathbf{b}_1 = (1, 1), \quad \mathbf{b}_2 = (0, 2).$$

Curba Bézier asociată $\mathbf{b} : [0, 1] \rightarrow \mathbb{R}^2$ se scrie sub forma Bernstein

$$\mathbf{b}(t) = \sum_{i=0}^2 B_i^2(t) \mathbf{b}_i = (1-t)^2(1, 0) + 2t(1-t)(1, 1) + t^2(0, 2) =$$

$$(1 - 2t + t^2 + 2t - 2t^2, 2t - 2t^2 + 2t^2) = (1 - t^2, 2t).$$

Avem, de exemplu, $\mathbf{b}(\frac{1}{3}) = (\frac{8}{9}, \frac{2}{3})$, $\mathbf{b}(\frac{1}{4}) = (\frac{15}{16}, \frac{1}{2})$, etc.

Algoritmul de Casteljau

Fie $\mathbf{b}_0, \mathbf{b}_1, \dots, \mathbf{b}_n \in \mathbf{R}^m$. Pentru $t \in [0, 1]$ se notează $\mathbf{b}_i^0(t) := \mathbf{b}_i$ ($i = 0, \dots, n$) și se definesc inductiv punctele de Casteljau

$$\mathbf{b}_i^r(t) := (1-t)\mathbf{b}_i^{r-1}(t) + t\mathbf{b}_{i+1}^{r-1}(t), \quad \begin{cases} r = 1, \dots, n \\ i = 0, \dots, n-r \end{cases} \quad (8.3)$$

Teoremă. Punctul $\mathbf{b}_0^n(t)$ descrie, când t variază, curba Bézier asociată poligonului de control $(\mathbf{b}_0, \dots, \mathbf{b}_n)$ dată de ecuația (8.2).

Proprietăți elementare

Fie $(\mathbf{b}_0, \dots, \mathbf{b}_n)$ un poligon de control din \mathbf{R}^m . Curba Bézier asociată $\mathbf{b} : [0, 1] \rightarrow \mathbf{R}^m$ are următoarele proprietăți:

- (i) \mathbf{b} este o curbă polinomială, având gradul mai mic sau egal cu n ;

(ii) curba \mathbf{b} interpolează extremitățile poligonului de control, i.e. $\mathbf{b}(0) = \mathbf{b}_0$, $\mathbf{b}(1) = \mathbf{b}_n$; în particular, dacă poligonul de control este închis, curba Bézier asociată este închisă;

(iii) **proprietatea acoperirii convexe**: punctele curbei Bézier \mathbf{b} se află în acoperirea convexă a punctelor de control;

(iv) **invarianța la schimbări afine de parametru**: dacă $\varphi : [0, 1] \rightarrow [\alpha, \beta]$, $\varphi(t) = \alpha + t(\beta - \alpha)$ este o schimbare afină de parametru și dacă $\mathbf{b}^{[\alpha, \beta]}$ este curba Bézier asociată poligonului de control $(\mathbf{b}_0, \dots, \mathbf{b}_n)$, dar definită pe intervalul $[\alpha, \beta]$, atunci $\mathbf{b} = \mathbf{b}^{[\alpha, \beta]} \circ \varphi$;

(v) **invarianță afină**: dacă $\tau : \mathbf{R}^m \rightarrow \mathbf{R}^m$ este o aplicație afină, atunci curba Bézier asociată poligonului de control date de $(\tau(\mathbf{b}_0), \dots, \tau(\mathbf{b}_n))$ este curba $\tau(\mathbf{b}^n)$;

(vi) **Invarianța la combinații baricentrice**: fie $(\mathbf{b}_0, \dots, \mathbf{b}_n)$, respectiv $(\tilde{\mathbf{b}}_0, \dots, \tilde{\mathbf{b}}_n)$ două poligoane de control și \mathbf{b} , respectiv $\tilde{\mathbf{b}}$ curbele Bézier corespunzătoare. Pentru orice $\alpha \in \mathbf{R}$, curba Bézier asociată poligonului de control $((1 - \alpha)\mathbf{b}_0 + \alpha\tilde{\mathbf{b}}_0, \dots, (1 - \alpha)\mathbf{b}_n + \alpha\tilde{\mathbf{b}}_n)$ este curba $(1 - \alpha)\mathbf{b} + \alpha\tilde{\mathbf{b}}$.

(vii) dacă $\tilde{\mathbf{b}} : [0, 1] \rightarrow \mathbf{R}^m$ este curba Bézier asociată poligonului de control $(\mathbf{b}_n, \dots, \mathbf{b}_0)$, atunci $\tilde{\mathbf{b}}(t) = \mathbf{b}(1 - t)$, în particular, cele două curbe au aceeași imagine geometrică.

Suprafețe Fie $m, n \in \mathbb{N}^*$ două numere naturale nenule și

$$\begin{pmatrix} \mathbf{b}_{00} & \mathbf{b}_{01} & \dots & \mathbf{b}_{0n} \\ \mathbf{b}_{10} & \mathbf{b}_{11} & \dots & \mathbf{b}_{1n} \\ \dots & \dots & \dots & \dots \\ \mathbf{b}_{m0} & \mathbf{b}_{m1} & \dots & \mathbf{b}_{mn} \end{pmatrix}$$

o matrice ale cărei elemente sunt puncte din \mathbb{R}^3 , numită **rețea Bézier (poliedru de control)**. **Suprafața Bézier de tip produs tensorial** asociată acestor date este dată de formula:

$$\mathbf{s} : [0, 1] \times [0, 1] \rightarrow \mathbb{R}^3, \quad \mathbf{s}(u, v) = \sum_{i=0}^m \sum_{j=0}^n B_i^m(u) B_j^n(v) \mathbf{b}_{ij}.$$

Proprietăți elementare

(i) Prin analogie cu curbele Bézier, suprafața de tip produs tensorial are următoarele proprietăți:

- interpolarea punctelor $\mathbf{b}_{00} = \mathbf{s}(0, 0)$, $\mathbf{b}_{0n} = \mathbf{s}(0, 1)$, $\mathbf{b}_{m0} = \mathbf{s}(1, 0)$, $\mathbf{b}_{mn} = \mathbf{s}(1, 1)$;
- imaginea suprafeței este inclusă în acoperirea convexă a punctelor poliedrului de control;
- invarianță la transformări afine.

(ii) Curbele frontieră, i.e. curbele de coordonate $\mathbf{s}(0, \cdot)$, $\mathbf{s}(1, \cdot)$, $\mathbf{s}(\cdot, 0)$ și $\mathbf{s}(\cdot, 1)$ sunt curbe Bézier având poligoane de control respectiv $(\mathbf{b}_{00}, \mathbf{b}_{01}, \dots, \mathbf{b}_{0n})$, $(\mathbf{b}_{m0}, \mathbf{b}_{m1}, \dots, \mathbf{b}_{mn})$, $(\mathbf{b}_{00}, \mathbf{b}_{10}, \dots, \mathbf{b}_{m0})$, $(\mathbf{b}_{0n}, \mathbf{b}_{1n}, \dots, \mathbf{b}_{mn})$. Restul curbelor de coordonate sunt, la rândul lor, curbe Bézier. Totuși, acestea din urmă nu au drept puncte de control linii sau coloane din matricea $(\mathbf{b}_{ij})_{i,j}$.

Exemplu. Dacă $m = n = 1$ avem

$$\mathbf{s}(u, v) = \sum_{i=0}^1 \sum_{j=0}^1 B_i^1(u) B_j^1(v) \mathbf{b}_{ij} = \begin{pmatrix} 1-u & u \end{pmatrix} \begin{pmatrix} \mathbf{b}_{00} & \mathbf{b}_{01} \\ \mathbf{b}_{10} & \mathbf{b}_{11} \end{pmatrix} \begin{pmatrix} 1-v \\ v \end{pmatrix}.$$

De exemplu, dacă

$$\mathbf{b}_{00} = (0, 0, 0), \quad \mathbf{b}_{01} = (1, 0, 0), \quad \mathbf{b}_{10} = (0, 1, 0), \quad \mathbf{b}_{11} = (1, 1, 1),$$

un calcul direct arată că $\mathbf{s}(u, v) = (v, u, uv)$.

8.2.2 Evaluatori

Atât curbele cât și suprafețele Bézier sunt obținute folosind tehnici de interpolare, care are loc la nivelul coordonatelor vârfurilor. Utilizând funcții specifice OpenGL în loc de `glVertex ()` (de exemplu `glNormal ()`, `glColor ()`, `glTexCoord* ()`), folosind aceeași regulă de interpolare sunt determinate, pe lângă punctele curbei, proprietățile lor, acestea fiind apoi manevrate ca niște vârfuri obișnuite.

Atât în cazul curbelor, cât și al suprafețelor, funcțiile asociate pot fi grupate în două categorii: pentru definire și pentru evaluare. Mai jos sunt prezentate funcțiile folosite în cazul curbelor; în cazul suprafețelor acestea sunt similare.

Funcții pentru definire.

```
glMap1* (target, umin, umax, stride, order, *points);
```

unde `target` poate fi una dintre constantele simbolice `GL_MAP1_VERTEX3`, `GL_MAP1_COLOR4`, `GL_MAP1_NORMAL`, etc. (în funcție de ceea ce se interpolează); `umin`, `umax` sunt capetele intervalului de definiție, iar `stride`, `order` sunt parametri legați de gradul curbei.

urmată de activare

```
glEnable (target);
```

Funcție pentru evaluare

```
glEvalCoord1*(u);
```

este apelată în cadrul unei funcții pentru trasarea unei primitive standard.

8.3 Exerciții

Exercițiul 8.3.1 Considerăm poligonul de control

$$\mathbf{b}_0 = (1, 1), \quad \mathbf{b}_2 = (2, 0), \quad \mathbf{b}_3 = (0, 0)$$

și fie $\mathbf{b} : [0, 1] \rightarrow \mathbf{R}^2$ curba Bézier asociată. Calculați $\mathbf{b}(\frac{1}{3})$ și stabiliți dacă punctul $(1, \frac{1}{3})$ aparține imaginii lui \mathbf{b} .

Exercițiul 8.3.2 Considerăm punctele $\mathbf{b}_0 = (2, 4)$, $\mathbf{b}_1 = (4, 2)$ și $\mathbf{b}_2 = (4, 0)$. Calculați punctele $\mathbf{b}_0^1(t)$, $\mathbf{b}_1^1(t)$ și $\mathbf{b}_0^2(t)$ corespunzătoare valorilor $t = \frac{1}{2}$ și $t = \frac{1}{4}$.

Exercițiul 8.3.3 Considerăm rețeaua Bézier

$$\mathbf{b}_{00} = (0, 0, 0), \quad \mathbf{b}_{01} = (2, 0, 0), \quad \mathbf{b}_{10} = (0, 2, 0), \quad \mathbf{b}_{11} = (2, 2, 0).$$

Determinați punctul $\mathbf{s}(\frac{1}{2}, \frac{1}{2})$.

Bibliografie

- [1] G. Albeanu, *Grafica pe calculator. Algoritmi fundamentali*, Editura Universității din București, 2001.
- [2] R. Baciuc, *Programarea aplicațiilor grafice 3D cu OpenGL*, Editura Albatra, 2005.
- [3] L. Bădescu, *Lecții de Geometrie*, Editura Universității București, 2000.
- [4] W. Boehm și H. Prautzsch, *Geometric Concepts for Geometric Design*, AK Peters, Wellesley, 1994.
- [5] G. Farin, *Curves and Surfaces for CAGD - A practical guide*, Academic Press, 2002.
<http://www.farinhansford.com/books/cagd/materials.html>
<http://www.vis.uni-stuttgart.de/kraus/LiveGraphics3D/cagd/>
- [6] J. Foley, A. van Dam, S. Feiner și J. Hughes, *Computer Graphics: Principles and Practice* (2nd edition in C), Addison Wesley, 1995.
- [7] D. Hearn și M. Baker, *Computer Graphics with OpenGL*, Prentice Hall, 2003.
- [8] L. Ornea și A. Turtoi, *O introducere în geometrie*, Editura Theta, București, 2000.
- [9] H. Prautzsch, W. Boehm și M. Paluszny, *Bézier and B-Spline Techniques*, Springer, 2002.
<http://i33www.ira.uka.de/applets/mocca/html/noplugin/inhalt.html>
- [10] P. Schneider și D. Eberly, *Geometric Tools for Computer Graphics*, Morgan Kaufmann, 2003.
- [11] P. Shirley, M. Ashikhmin, M. Gleicher, S. Marschner, E. Reinhard, K. Sung, W. Thompson și P. Willemsen, *Fundamentals of Computer Graphics* (2nd edition), AK Peters, Wellesley, 2005.
- [12] D. Shreiner, M. Woo, J. Neider și T. Davis. *OpenGL Programming Guide* (6th edition), Addison Wesley, 2008.
<http://www.opengl-redbook.com>
- [13] <http://www.opengl.org>